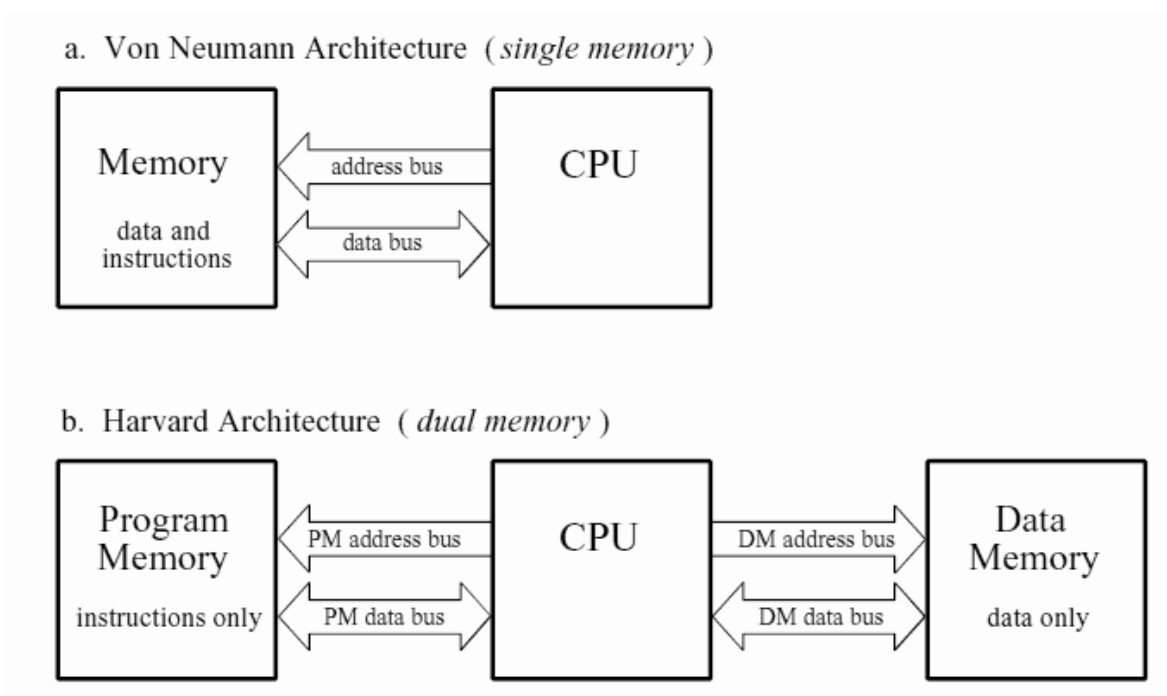


## DSP processzorok:



c. Super Harvard Architecture ( *dual memory, instruction cache, I/O controller* )

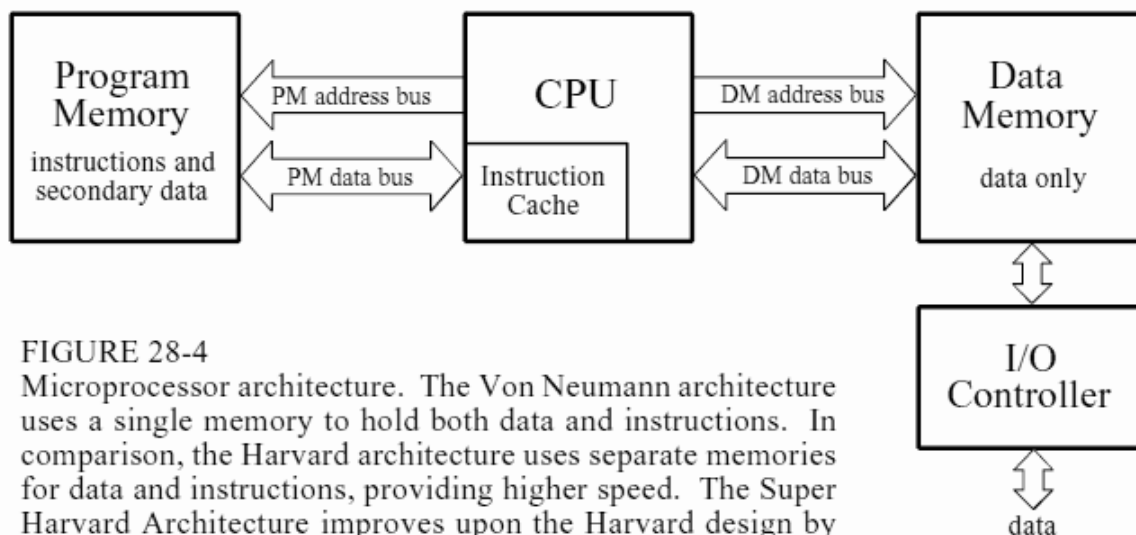
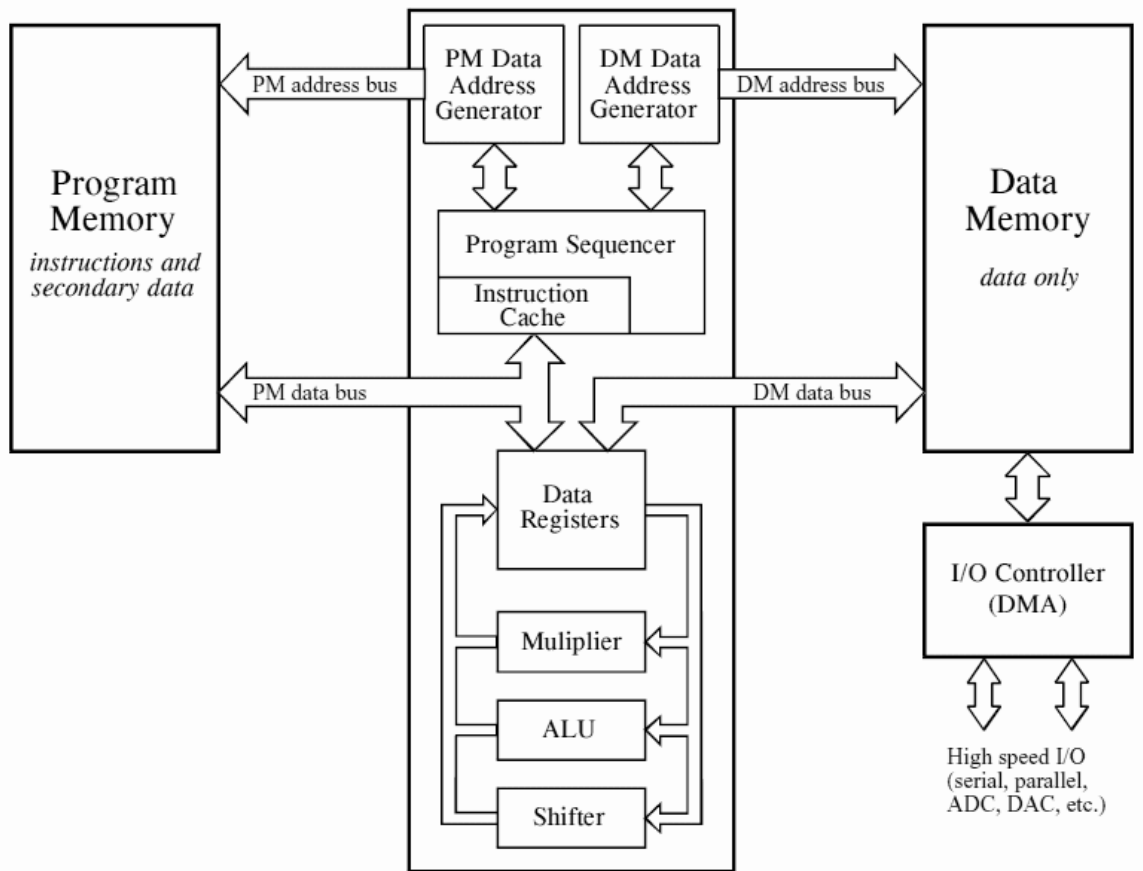
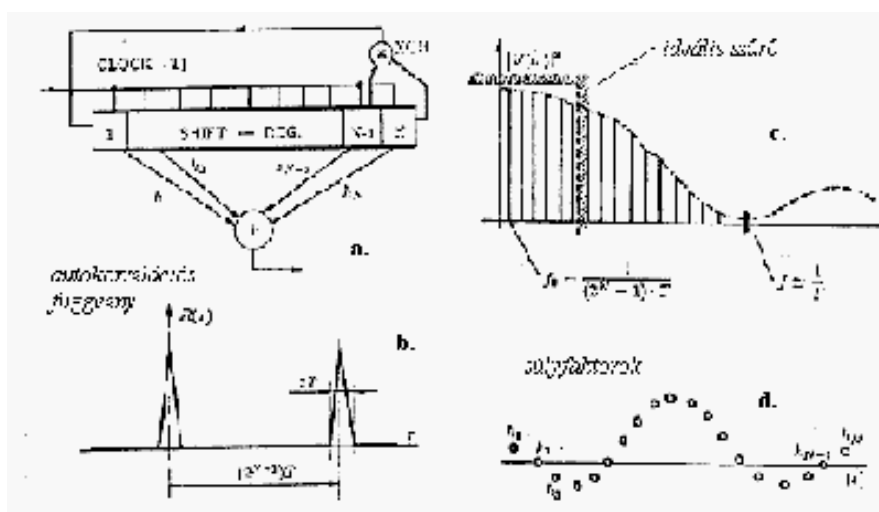
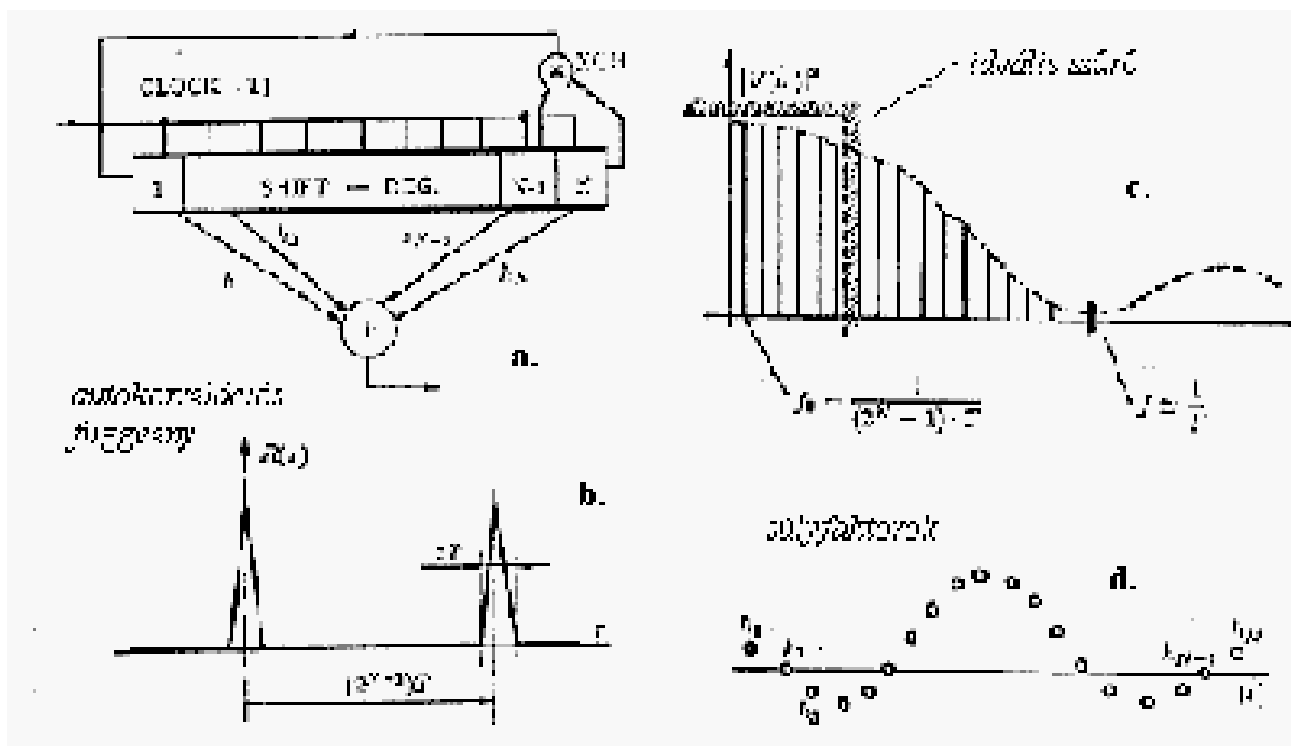


FIGURE 28-4

Microprocessor architecture. The Von Neumann architecture uses a single memory to hold both data and instructions. In comparison, the Harvard architecture uses separate memories for data and instructions, providing higher speed. The Super Harvard Architecture improves upon the Harvard design by adding an instruction cache and a dedicated I/O controller.



HP zajgenerátor:



Shift regiszter + XOR kapu:  $2^n$  állapot

Autókorrelációs függvény: I. pénzdobálás:  $(\sin x/x)^2$  burkoló!

Fehérzajhoz a konstans érték kell - megoldás a digitális szűrő  
Összegezési súlyok  $\sin x/x$  szerint (ez akár analóg is lehet!!!)  
Lépcsőfüggvény az órajelnél rövidebb idő alatt: további simítás

## Szűrő típusok

Alul/felül/sáváteresztő/sávzáró

Aluláteresztő:

$$H(\omega) = \frac{1}{1 + F(\omega/\omega_0)}$$

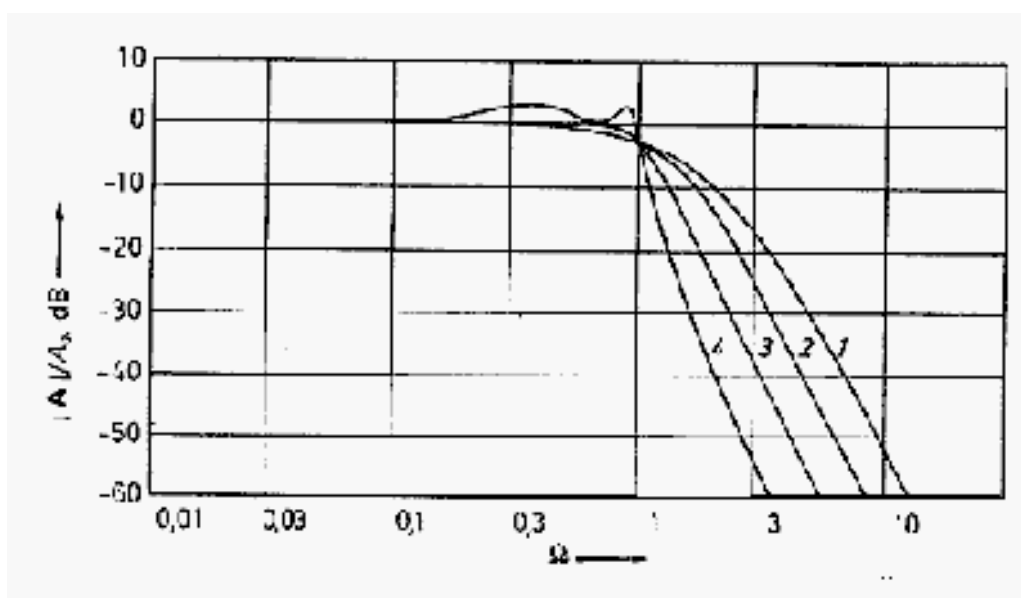
- ingadozás az átviteli sávban rossz
- ingadozás a vágási részen elfogadható  
pl. -3 dB adhatja meg a vágási pontot (mint az RC esetén)
- vágás mértéke: dB/dekád
- vágási szint (pl. -40 dB)
- Fázis linearitás csak az átviteli sávban fontos
- Fázismentben a kicsi nemlinearitás még elfogadható lehet

Tervezés: bonyolult,  $n$  elemre tervezőprogramokkal optimalizálják a fázis és frekvenciamenetet.

Példák:

- Bessel:  $F(\omega/\omega_0)$  Bessel-fv.  
maximálisan sima fázismenet  
lassú felfutás
- Butterworth:  $F(\omega/\omega_0) = ((\omega/\omega_0)^{2n})$   
teljesen sima az átviteli sávban  
„legsimább” átvitel
- Csebisev:  $F(\omega/\omega_0)$  Csebisev-fv.  
gyors lefutás, de ingadozás is van  
rossz fázismenet

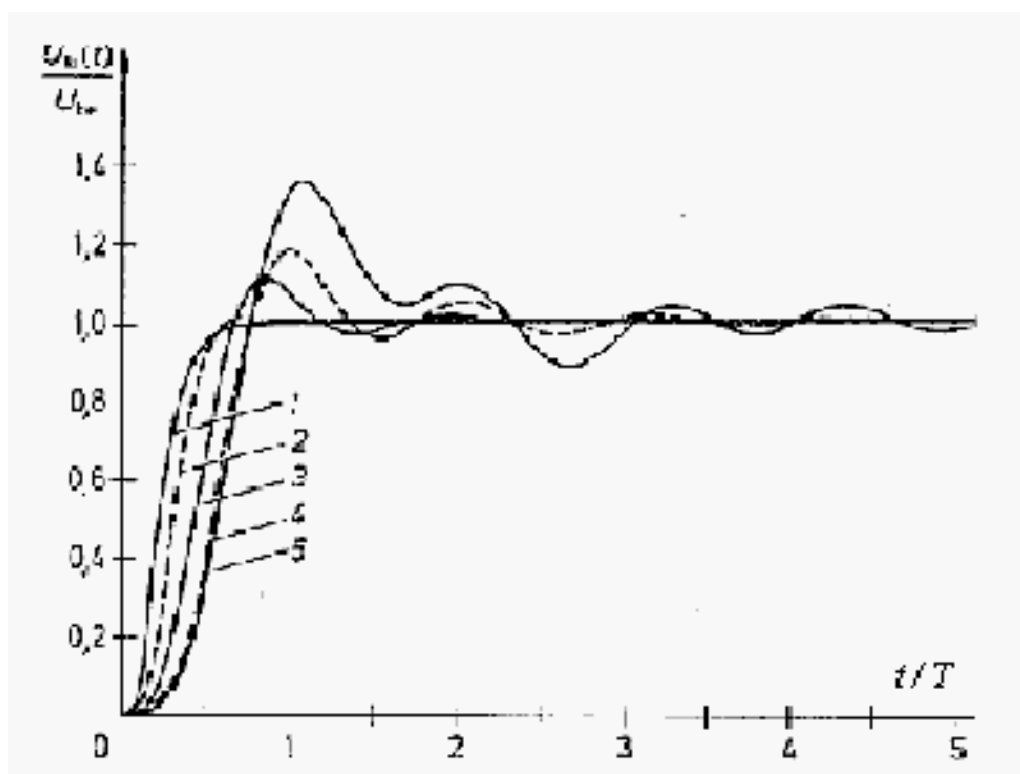
Frekvenciamenet:



1 = kritikusan csillapított; 2 = Bessel; 3 = Butterworth; 4 = Csebisev szűrő



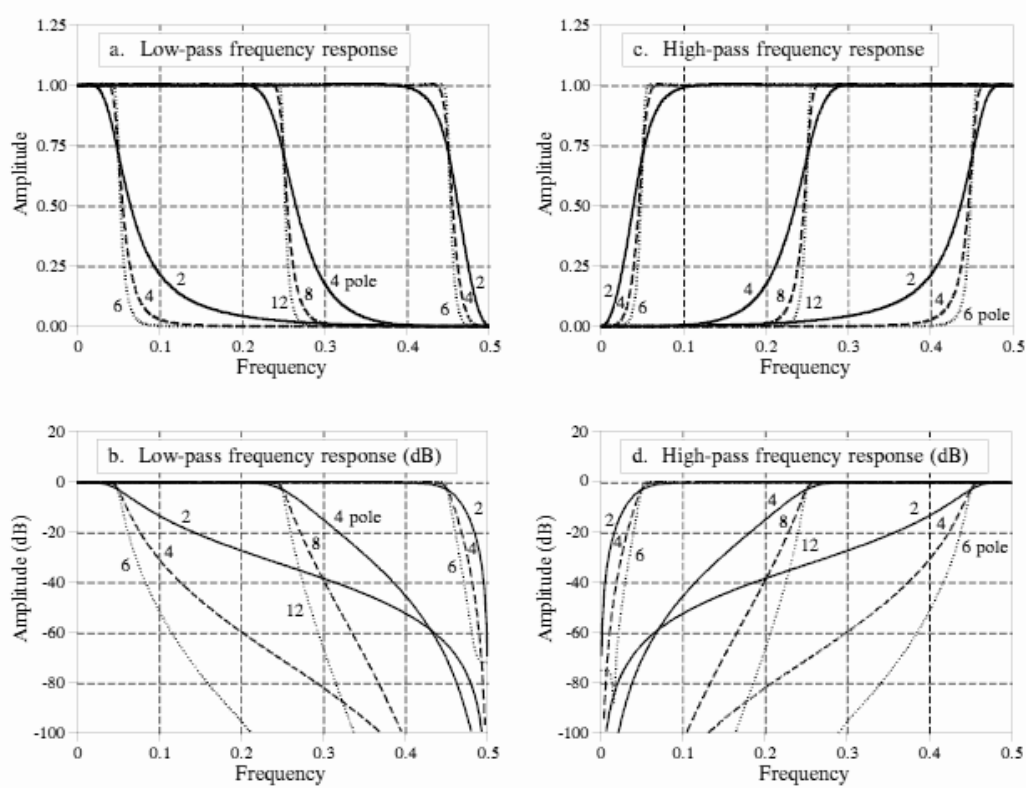
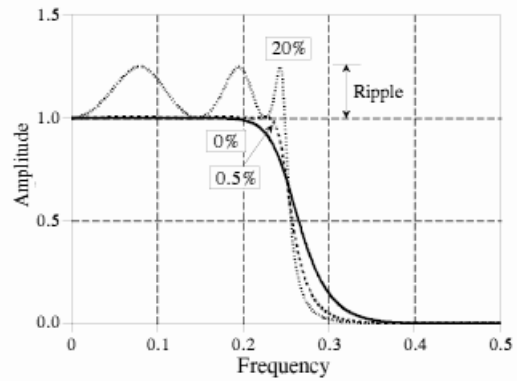
Ugrásfüggvény-átvitel:

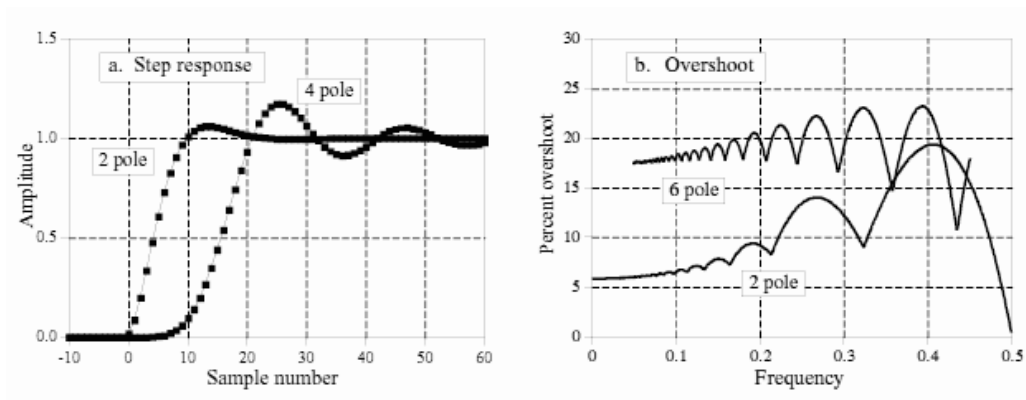


1 = kritikusan csillapított; 2 = Bessel; 3 = Butterworth; 4/5 = Csebisev szűrő

FIGURE 20-1

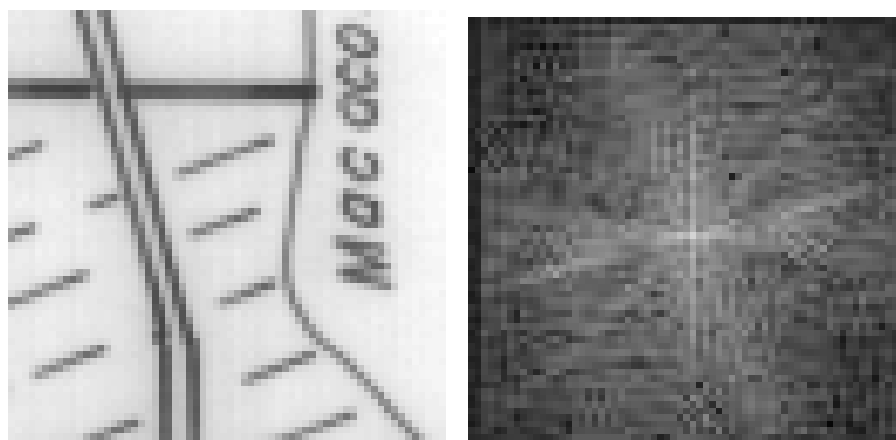
The Chebyshev response. Chebyshev filters achieve a faster roll-off by allowing ripple in the passband. When the ripple is set to 0%, it is called a *maximally flat* or *Butterworth* filter. Consider using a ripple of 0.5% in your designs; this passband unflatness is so small that it cannot be seen in this graph, but the roll-off is much faster than the Butterworth.



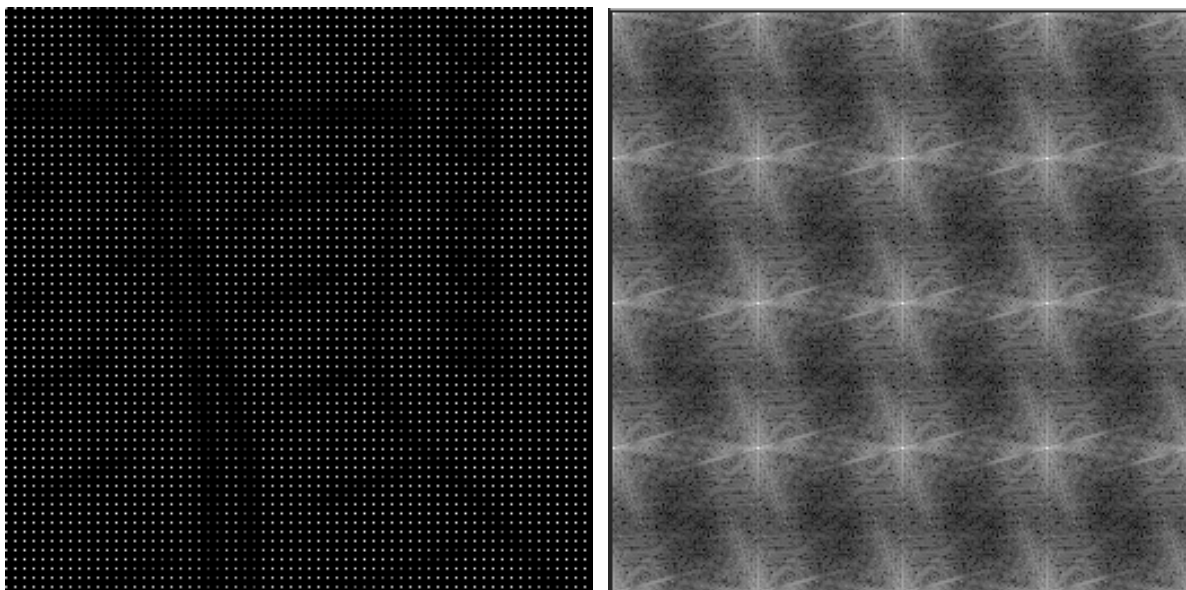


## Képek nagyítása, interpoláció

Eredeti kép és DFT spektrum:

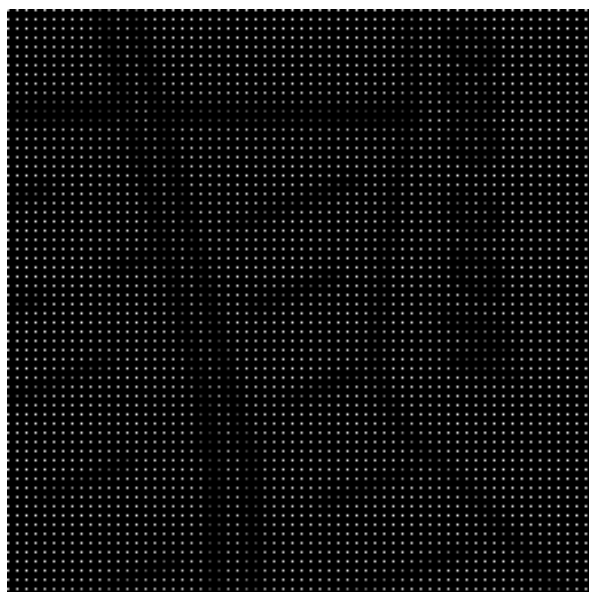


Nagyított kép és DFT spektruma:



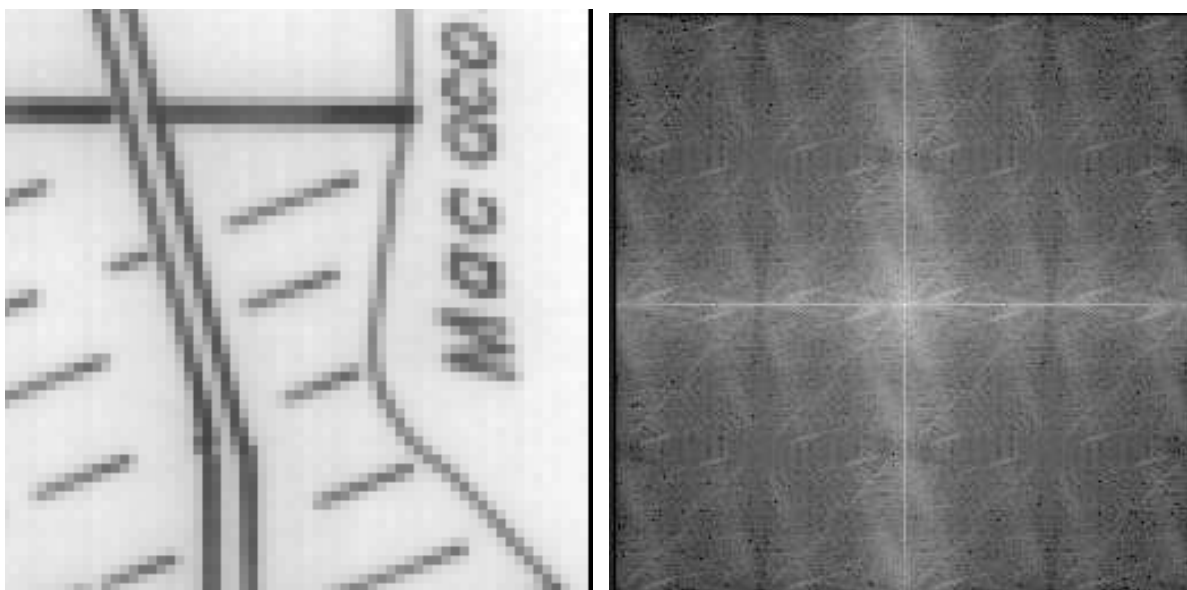
Legközelebbi szomszéd, átlagolás:

Nagyított kép és a simító magfüggvény:



1	1	1	1
1	1	1	1
1	1	1	1
1	1	1	1

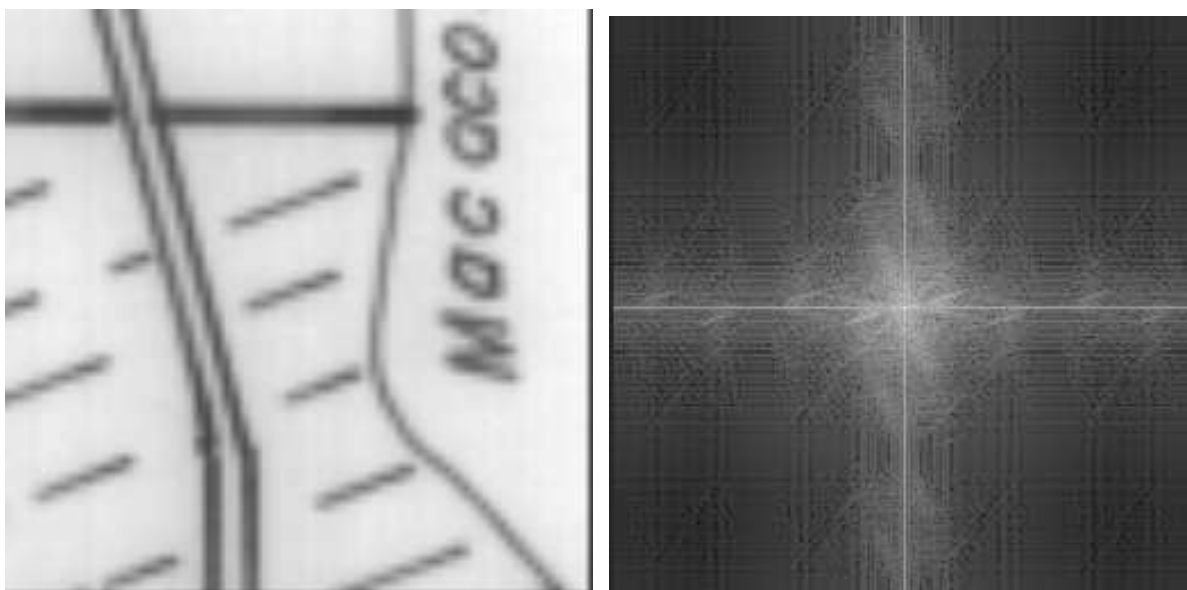
Interpolált kép és DFT spektruma:





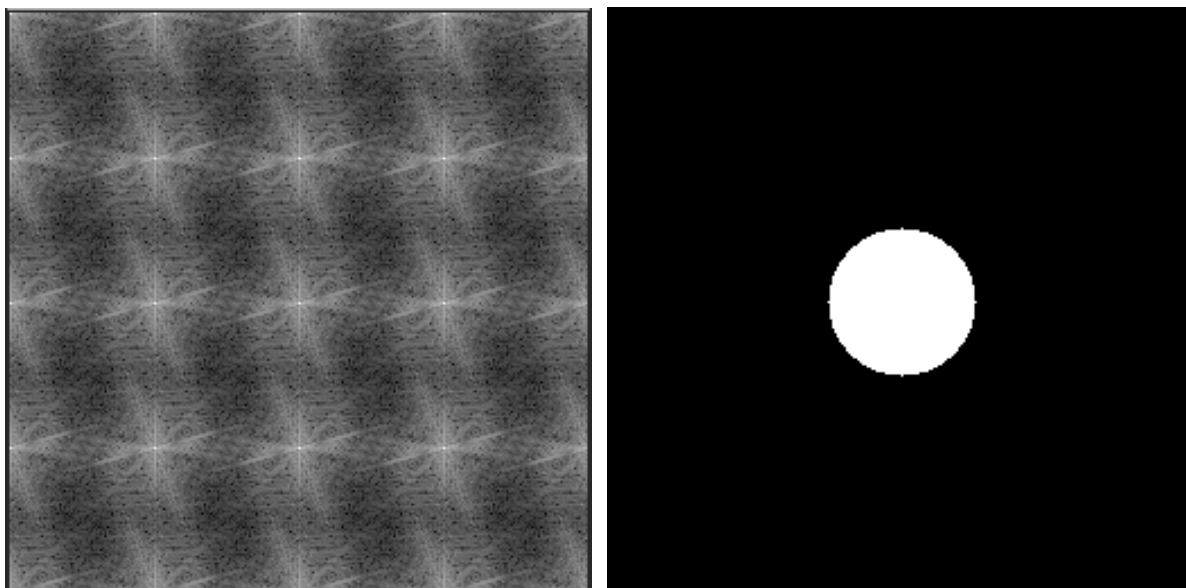


Interpolált kép és DFT spektruma:

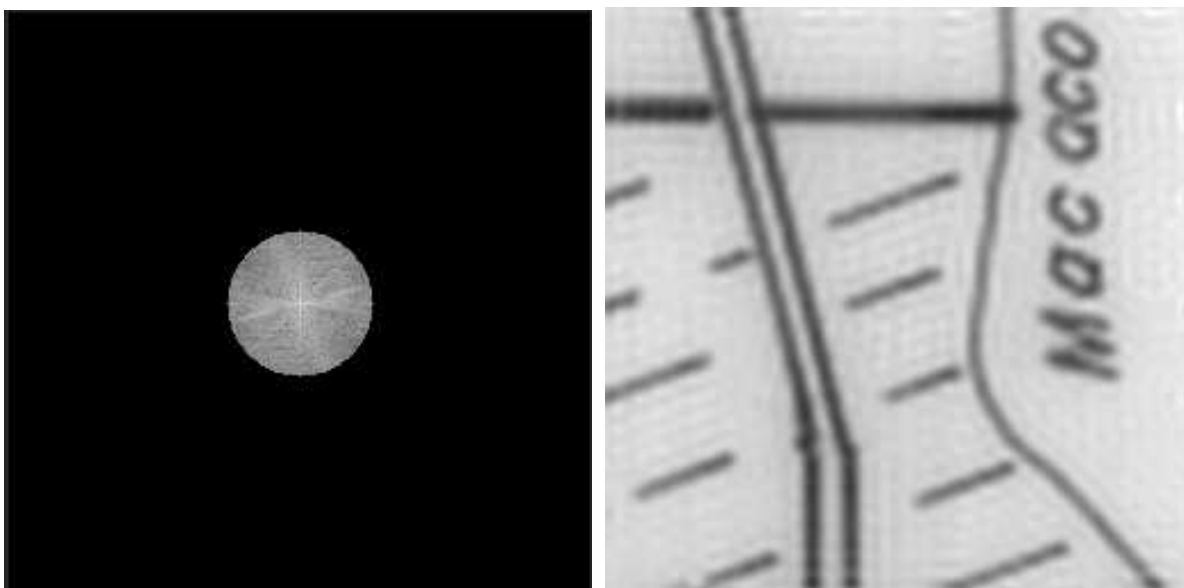


Ideális aluláteresztő:

Nagyított kép és az ideális aluláteresztő szűrő:

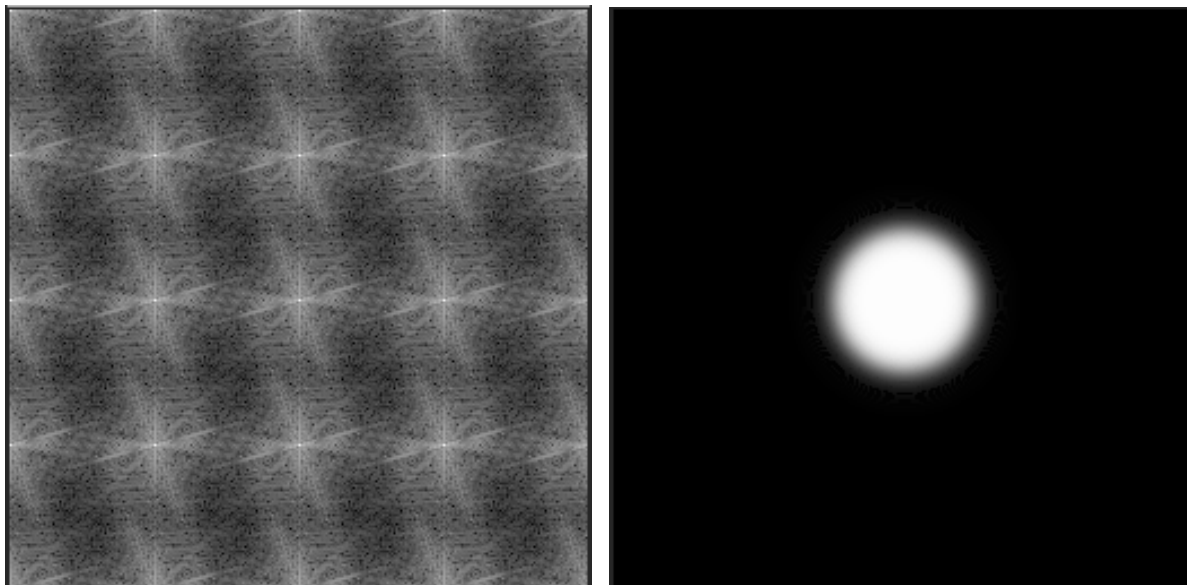


Interpolált kép és DFT spektruma:

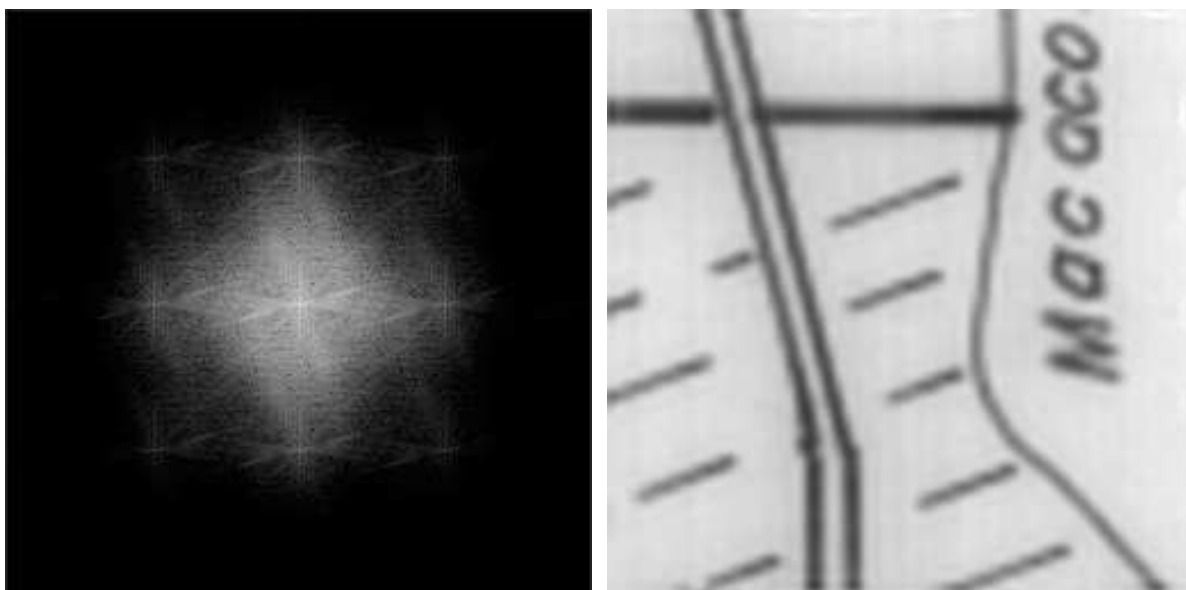


Butterworth szűrés:

Nagyított kép és a Butterworth szűrő:

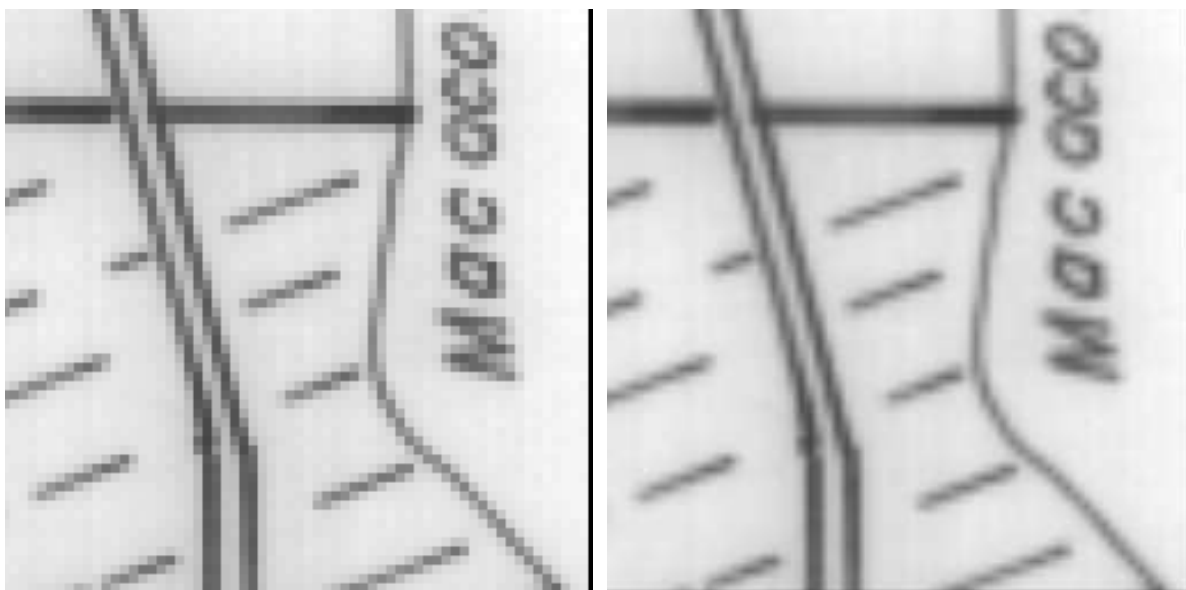


Interpolált kép és DFT spektruma:

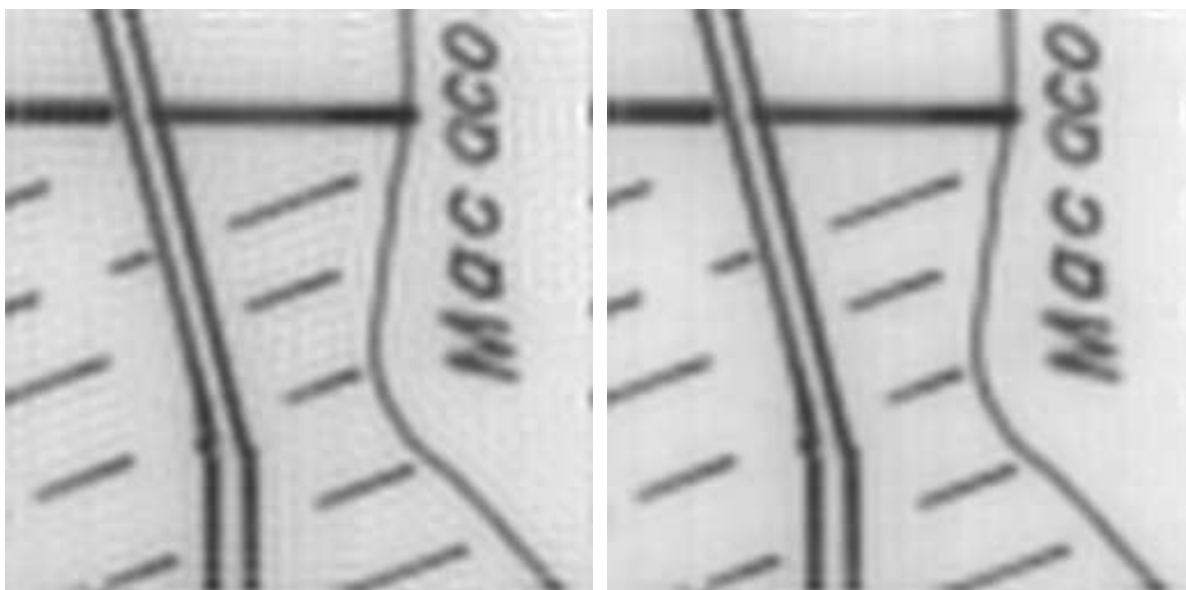


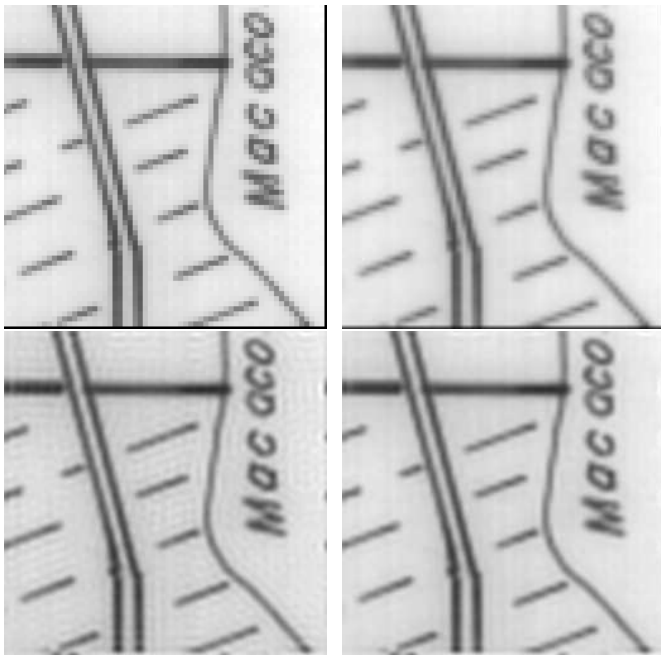
Összehasonlítás:

Legközelebbi szomszéd és lineáris interpoláció:



## Ideális aluláteresztő és Butterworth

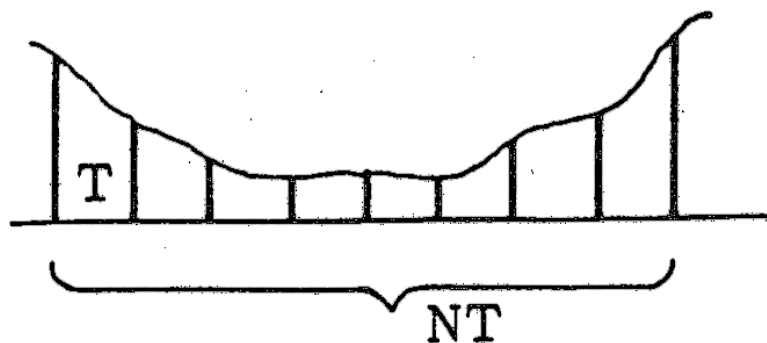






## DFT - diszkrét Fourier transzformáció

Sávlimitált jel - N minta, periódikus!



Fourier transzformált:

$$V(k\Omega) = \sum_{n=0}^{N-1} v(nT) e^{-i\Omega knT}$$

$$\text{itt } \Omega = \frac{2\pi}{NT}$$

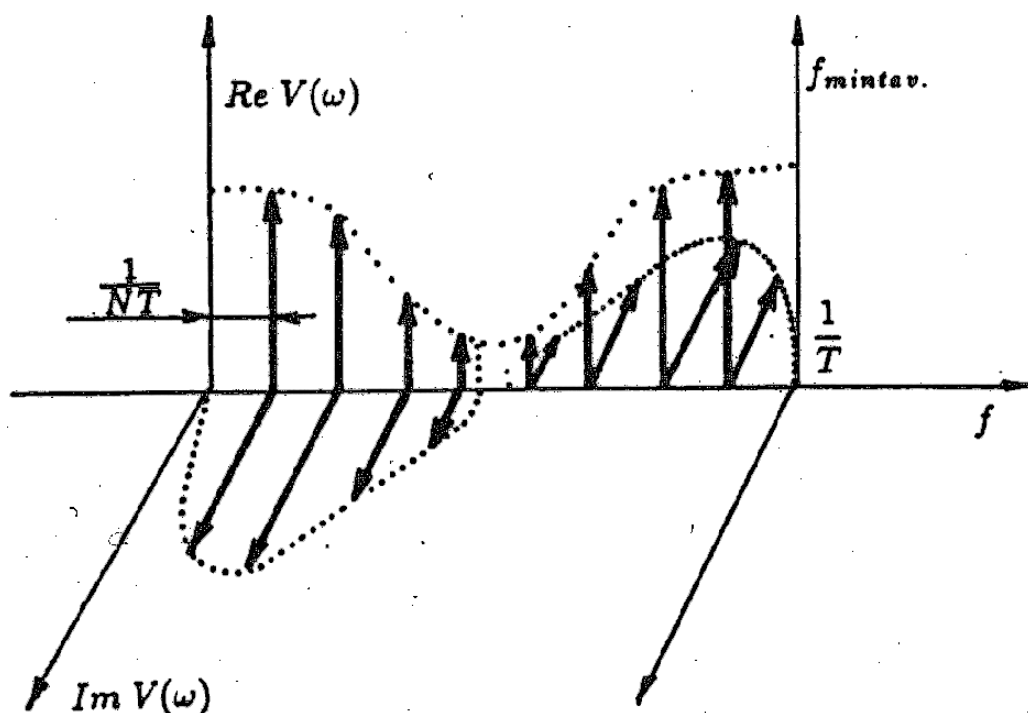
Mennyi információ, hány különböző jel?  $N$  mérési eredmény

Ha  $k = rN + k_0$  és  $r = \text{egész}$

$$V(k\Omega) = \sum_{n=0}^{N-1} v(nT) e^{-i\Omega(rN+k_0)nT} = \sum_{n=0}^{N-1} v(nT) e^{-i\Omega k_0 nT} \left( e^{-i\Omega T N r} \equiv 1 \right)$$

A spektrum  $N$  periódussal ismétlődik!

$N$  (valós) adat  $\rightarrow N/2$  független (komplex!) spektrumvonal!



A diszkrét Fourier transzformáció mátrixművelet: ( $\omega = \exp(i2\pi/N)$ ):

$$\begin{pmatrix} V_0 \\ V_1 \\ V_2 \\ \vdots \\ V_{N-1} \end{pmatrix} = \begin{pmatrix} 1 & 1 & 1 & \dots & 1 \\ 1 & \omega & \omega^{-2} & \dots & \omega^{-(N-1)} \\ 1 & \omega^{-2} & \omega^{-4} & \dots & \omega^{-2(N-1)} \\ \vdots & \vdots & \vdots & \ddots & \vdots \\ 1 & \omega^{-(N-1)} & \omega^{-2(N-1)} & \dots & \omega^{-(N-1)^2} \end{pmatrix} \begin{pmatrix} v_0 \\ v_1 \\ v_2 \\ \vdots \\ v_{N-1} \end{pmatrix}$$

$N = 4$ -re nincs szorzás!

$$\begin{pmatrix} 1 & 1 & 1 & 1 \\ 1 & -i & -1 & i \\ 1 & -1 & 1 & -1 \\ 1 & i & -1 & -i \end{pmatrix}$$

Ha csak egy érték nem nulla (pl. Dirac delta)  $\rightarrow$  minden tag ugyanakkora!

Oda-vissza transzformáció:  $\rightarrow \frac{1}{N}$  faktor!

$$V_k = \sum_{n=0}^{N-1} \omega^{-nk} v_n$$

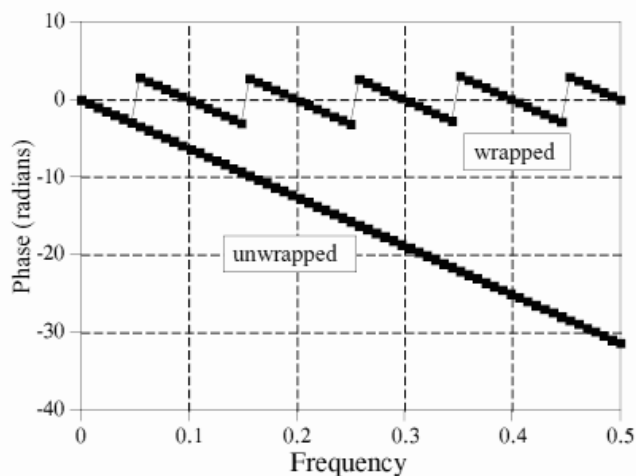
$$\begin{aligned}
 v_n &= \frac{1}{N} \sum_{k=0}^{N-1} \omega^{nk} V_k = \frac{1}{N} \sum_{k=0}^{N-1} \omega^{nk} \sum_{l=0}^{N-1} \omega^{-lk} v_l \\
 &= \frac{1}{N} \sum_{l=0}^{N-1} v_l \sum_{k=0}^{N-1} \omega^{k(n-l)} = \begin{cases} v_n & (n = l) \\ 0 & (n \neq l) \end{cases}
 \end{aligned}$$

Itt  $\omega = e^{i2\pi/N}$ ,  $(1 - \omega^{(n-l)N}) / (1 - \omega^{n-l}) = 0$

Fázis problémák:

FIGURE 8-12

Example of phase unwrapping. The top curve shows a typical phase signal obtained from a rectangular-to-polar conversion routine. Each value in the signal must be between  $-\pi$  and  $\pi$  (i.e.,  $-3.14159$  and  $3.14159$ ). As shown in the lower curve, the phase can be *unwrapped* by adding or subtracting integer multiples of  $2\pi$  from each sample, where the integer is chosen to minimize the discontinuities between points.



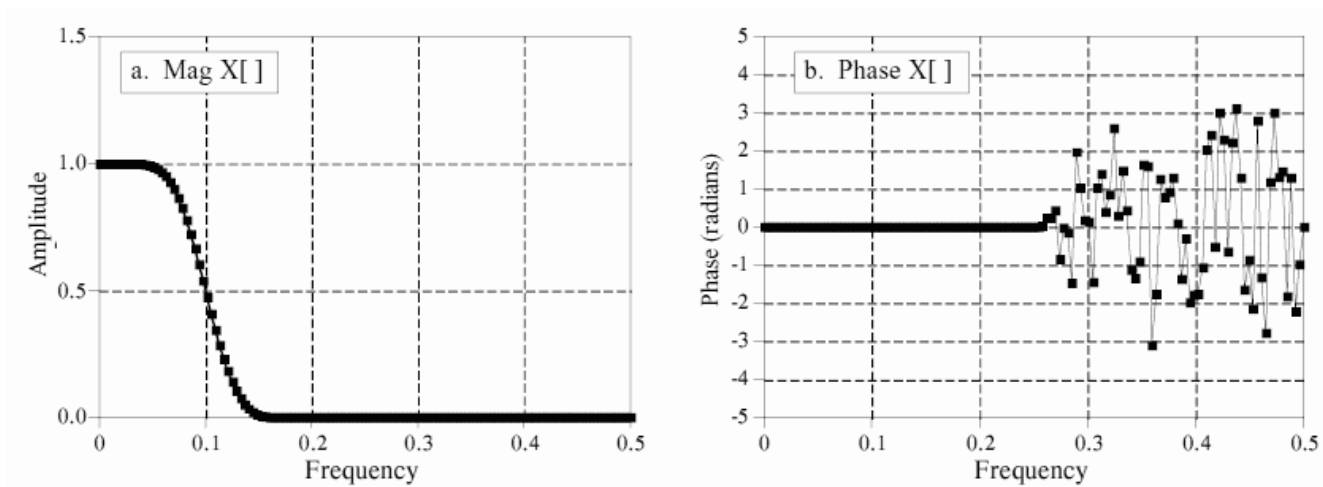
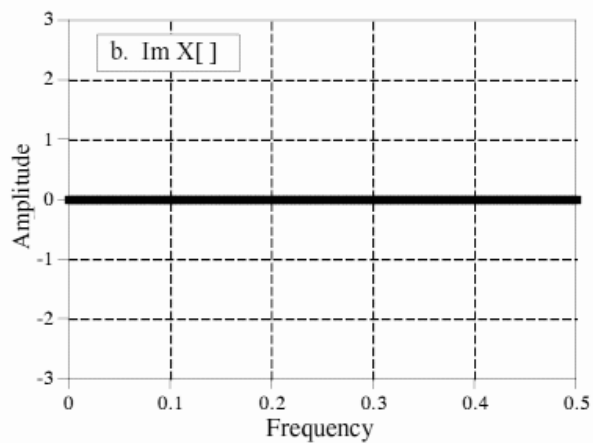
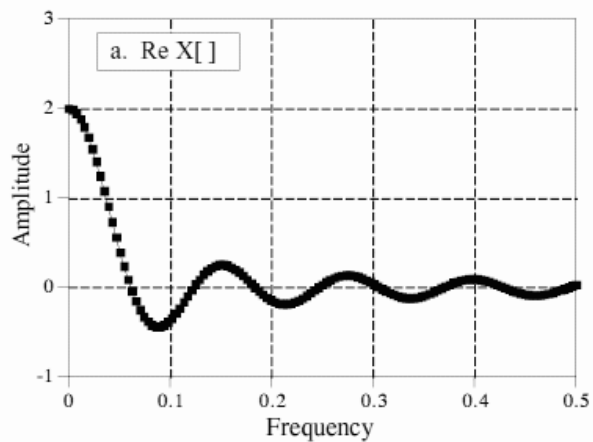


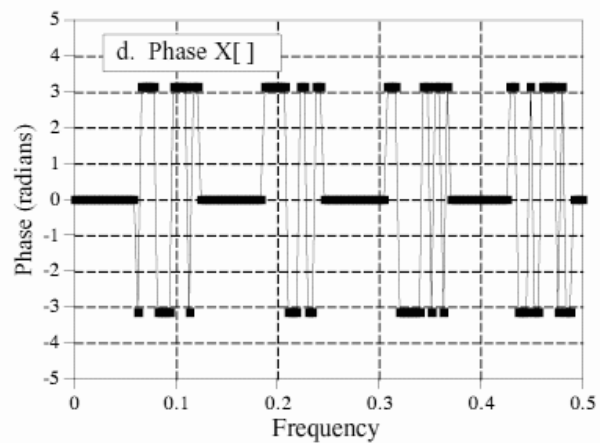
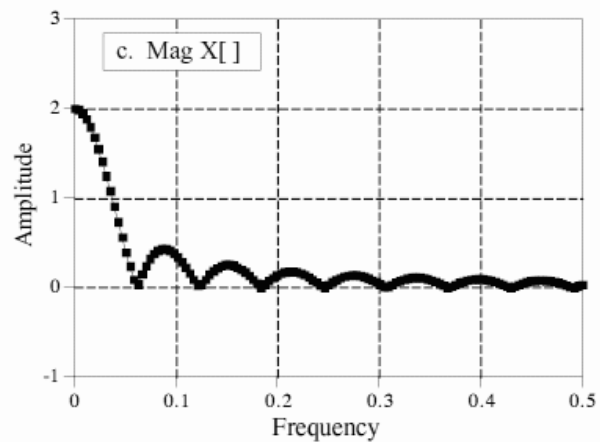
FIGURE 8-11

The phase of small magnitude signals. At frequencies where the magnitude drops to a very low value, round-off noise can cause wild excursions of the phase. Don't make the mistake of thinking this is a meaningful signal.

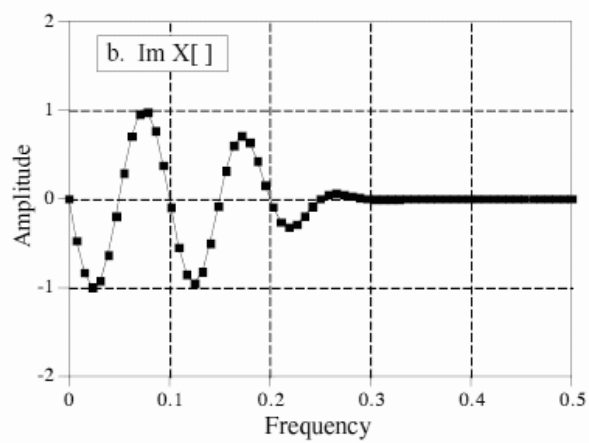
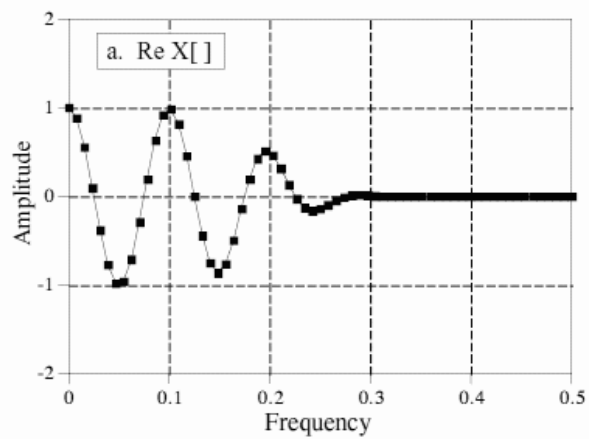
## Rectangular



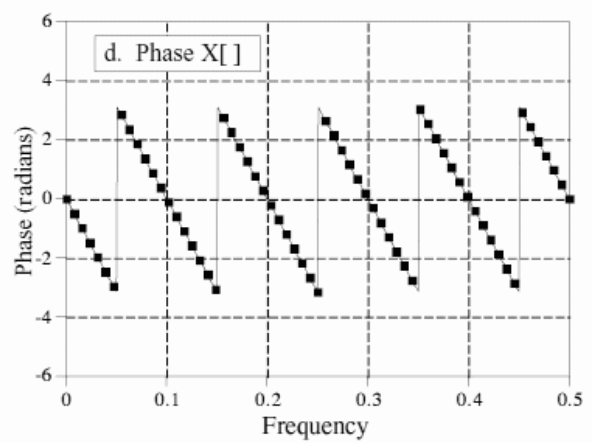
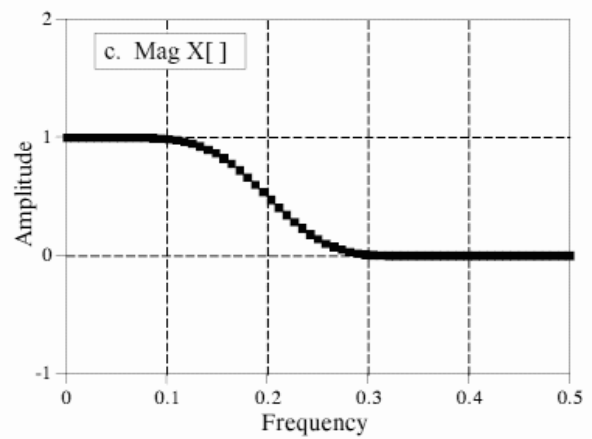
## Polar



## Rectangular



## Polar



## FFT - Fast Fourier transzformáció

Fourier transzformáció  $\rightarrow N^2$  szorzás (ugyanannyi, mint a konvolúció)

1965: Cooley és Tukey  $\rightarrow N \log_2 N$  algoritmus

1978: Winograd algoritmus

	szorzás/pont	összeadás/pont
DFT (1000 $\times$ 1000)	8000	4000
CT-FFT (1024 $\times$ 1024)	40	60
Winograd (1008 $\times$ 1008)	6	91

CT algoritmus: részekre bontás:

$N$  pont DFT  $\rightarrow N^2$  szorzás

$N/2$  pont DFT  $\rightarrow 2(N/2)^2$  szorzás külön-külön:

eredeti  $v$  adatok:  $g$  páros és  $h$  páratlan adatokra bonthatók, ekkor  $G$  és  $H$  kombinációja  $\omega^k$ -val szorzódik:

$$v(n) \quad (n = 0, 1, \dots, N - 1) \quad \Rightarrow \quad \begin{cases} g(n) = v(2n) & n = 0, 1, \dots, N/2 - 1 \\ h(n) = v(2n + 1) & 0, 1, \dots, N/2 - 1 \end{cases}$$



$$V_k = \sum_{n=0}^{N-1} v_n \omega^{-nk} = \sum_{n=0}^{N/2-1} g_n \omega^{-2nk} + \sum_{n=0}^{N/2-1} h_n \omega^{(2n+1)k} \quad k = 0, 1, \dots, N-1$$

$$\omega_N^2 = \omega_{N/2}$$

$$V_k = \sum_{n=0}^{N/2-1} g_n \omega_{N/2}^{-nk} + \omega_N^{-k} \sum_{n=0}^{N/2-1} h_n \omega_{N/2}^{-nk} = G_k + \omega_N^k H_k \quad k = 0, 1, \dots, N-1$$

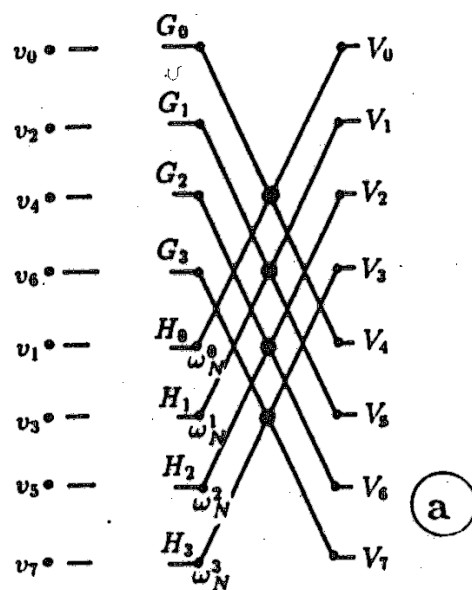
$k > N/2 - 1$  esetén ez  $k - N/2$ :

$$\begin{aligned} V_k &= G_{k-N/2} + \omega_N^{-k} H_{k-N/2} & N/2 \leq k \leq N-1 \\ V_{k+N/2} &= G_k + \omega_N^{-k+N/2} H_k & 0 \leq k \leq N/2-1 \end{aligned}$$

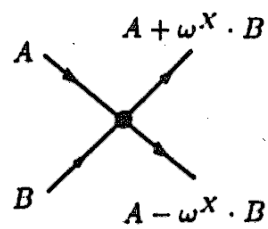
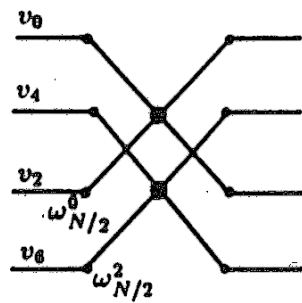
Ha  $N = 2^k \rightarrow$  többszörösen ismételhető

## Az FFT algoritmus részei $N = 8$ esetén

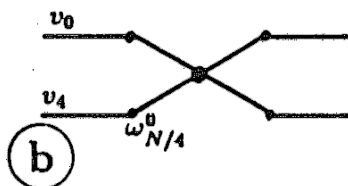
Kiinduló adatok és az első lépés



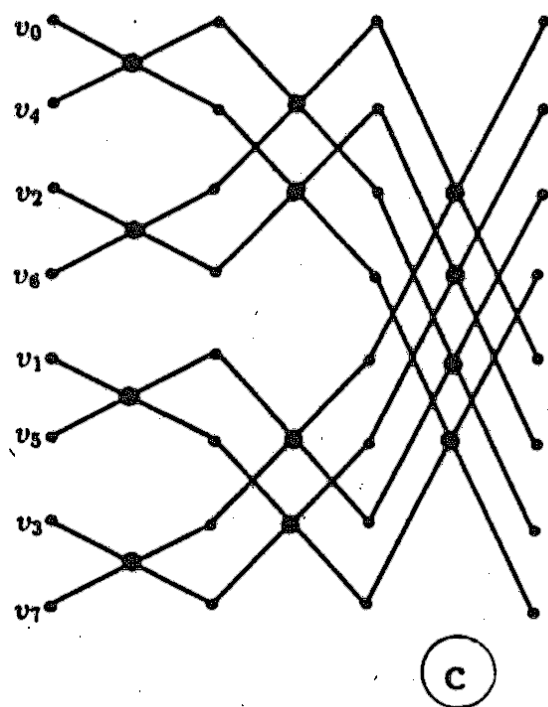
## Lepkeműveletet



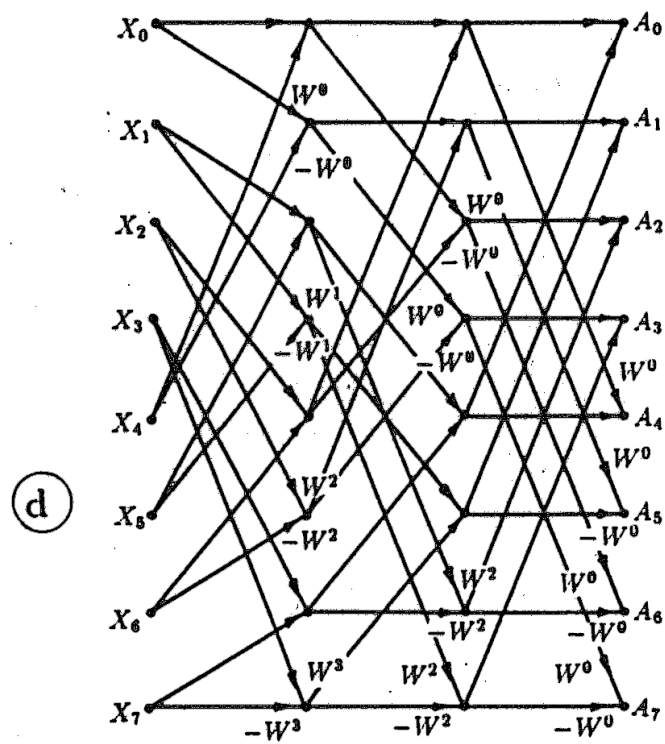
"LEPKE"  
MŰVELET



## A 3 fázis



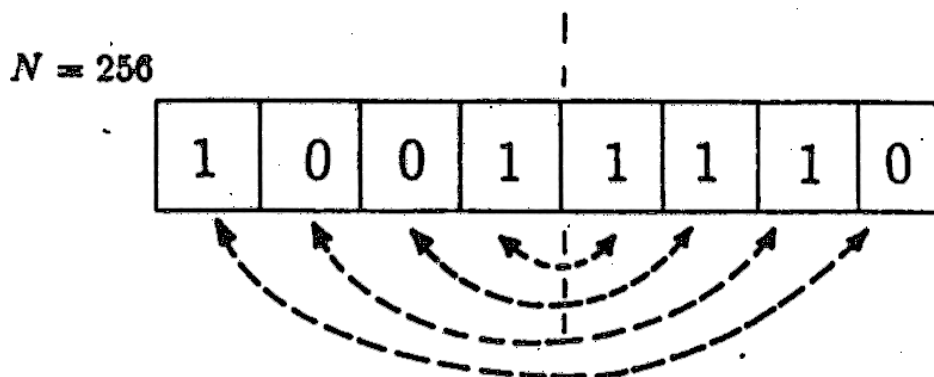
## Teljes FFT



Teljes transzformáció:  $(N/2) \log_2 N$  lepkeművelet

$N \log_2 N$  : pl.  $N = 1024$  esetén csak 1% szorzás marad!

Adatok keverednek az FFT-ben: bit-reverzálás



Sok algoritmus (Numerical Recipes, speciális programok)

További sebességnövelés: pl. csak valós adatokkal:

$$v_1(n) \iff V_1(k)$$

$$v_2(n) \iff V_2(k)$$

$$V(k) = V_1(k) + iV_2(k) \qquad V^*(k) = V_1(k) - jV_2(k)$$

$$V_1(k) = \frac{1}{2} [V^*(N - k) + V(k)]$$

$$V_2(k) = \frac{1}{2} [V^*(N - k) - V(k)]$$

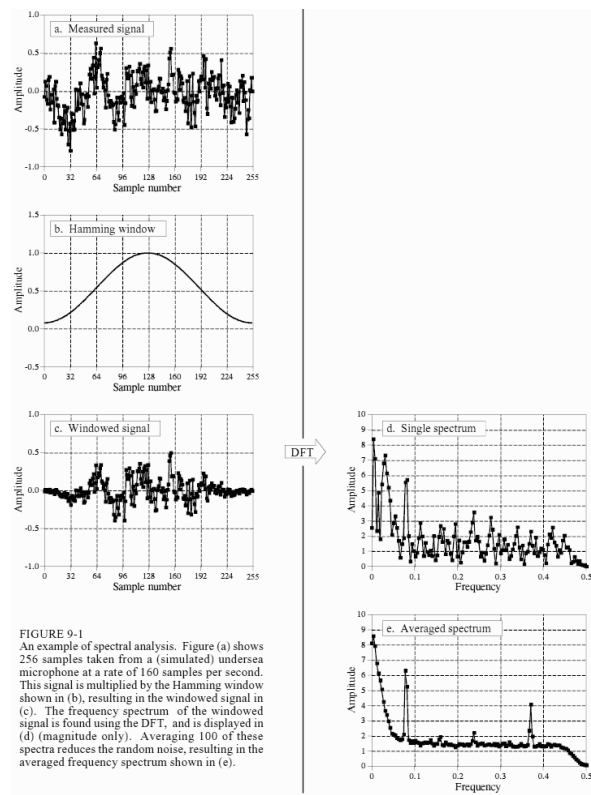


## FFT alkalmazásai

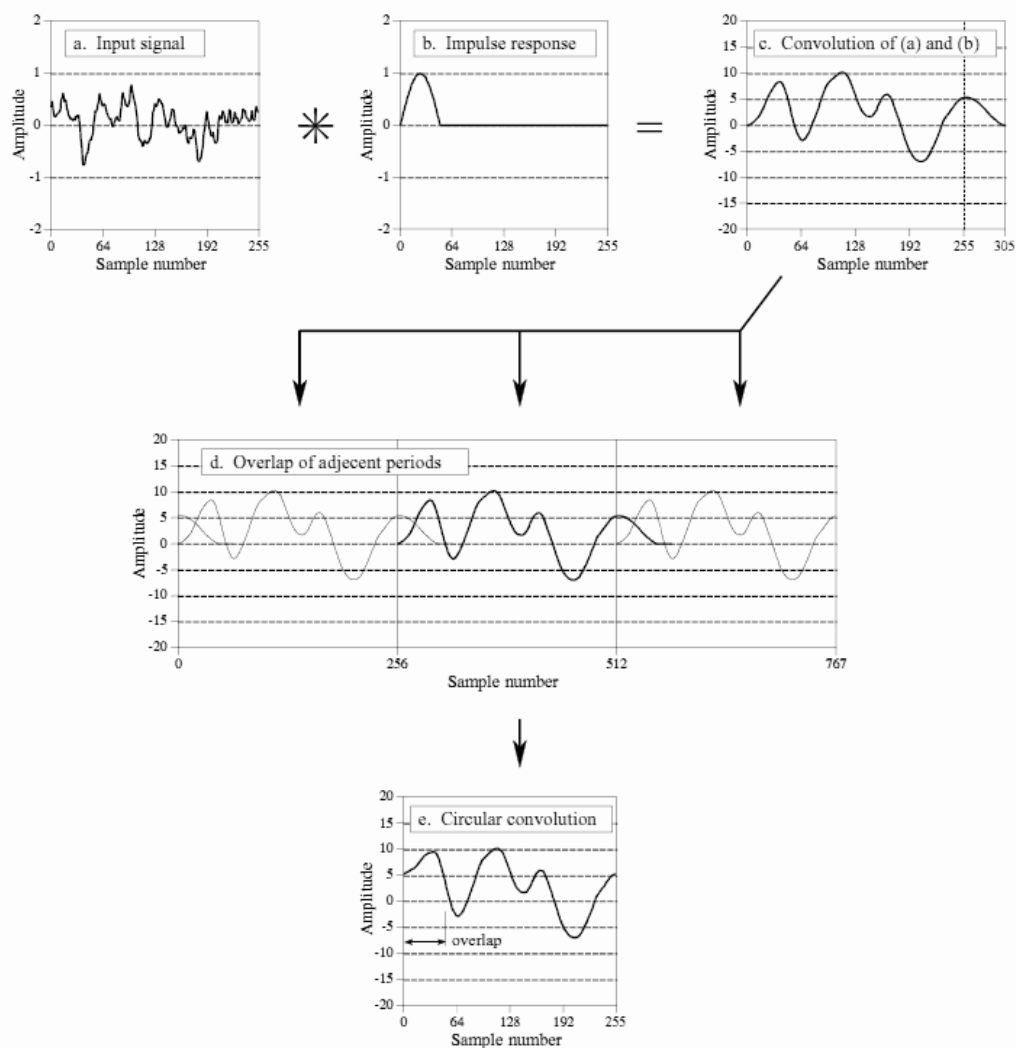
Univerzális eljárás: konvolúció-dekonvolúció:

Gyorsítás:

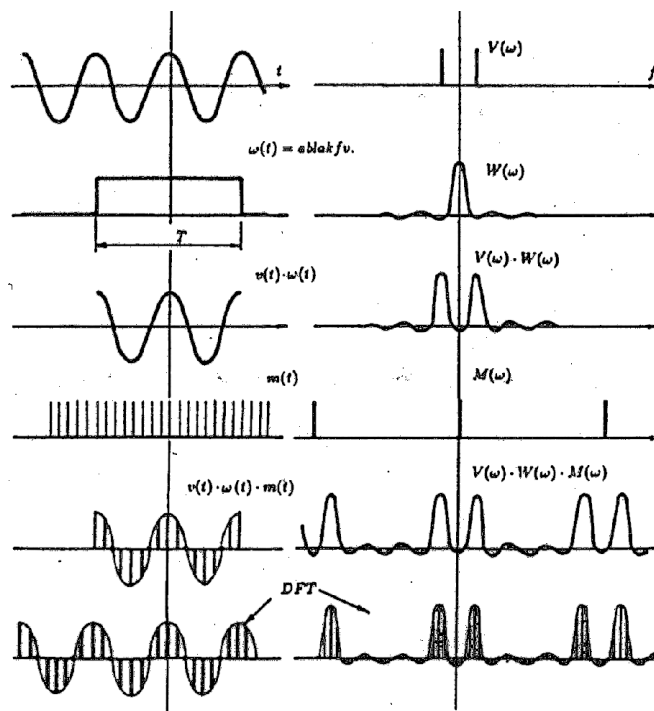
- gyorsabb számítógép
- aritmetikai processzor alkalmazása;
- lehetőleg mindent számítsunk ki előre (ún. look-up table)
- csökkentett fix számábrázolást;
- hatékony algoritmusok
- DSP (digital signal processor) chipok használata, szorzás és összeadás egy lépésben



# Cirkuláris konvolúció!



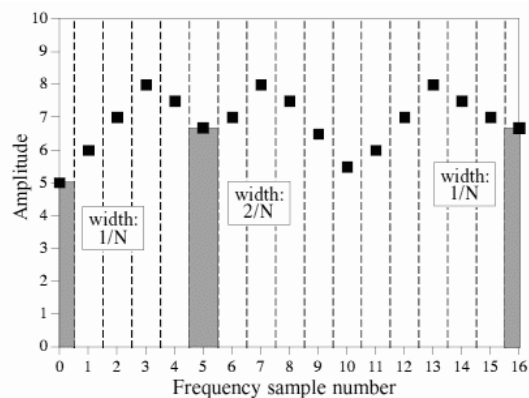
## Problémák a kvázi-periodikusság miatt:



Diszkrét értékek, szivárgás, ha egy jel nem PONTOSAN egy adott spektrumvonalra esik!

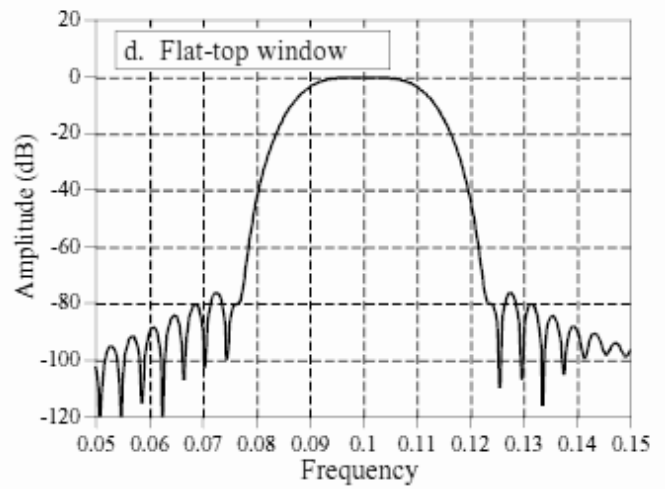
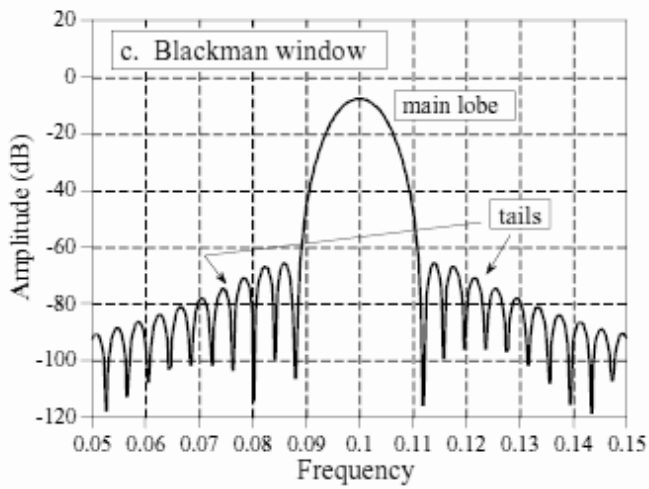
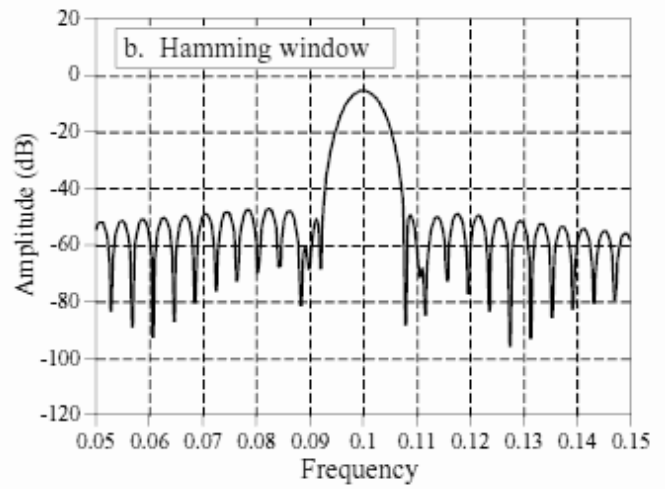
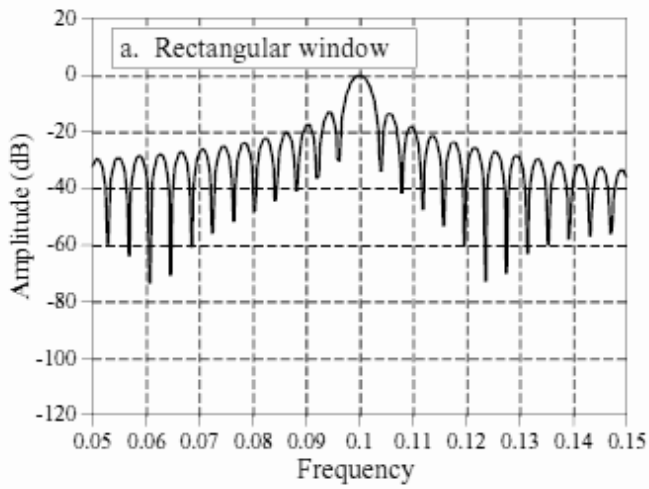
FIGURE 8-7

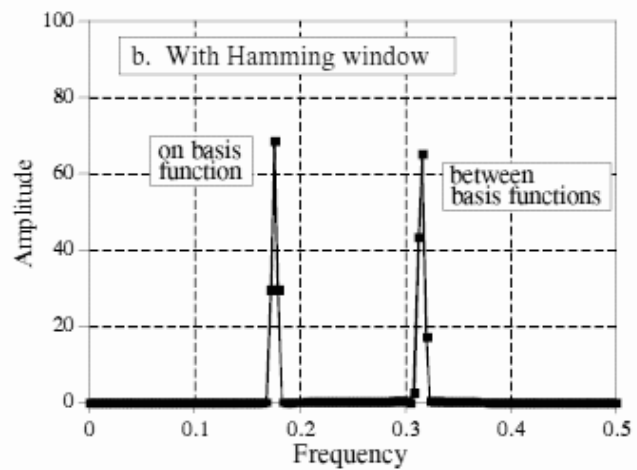
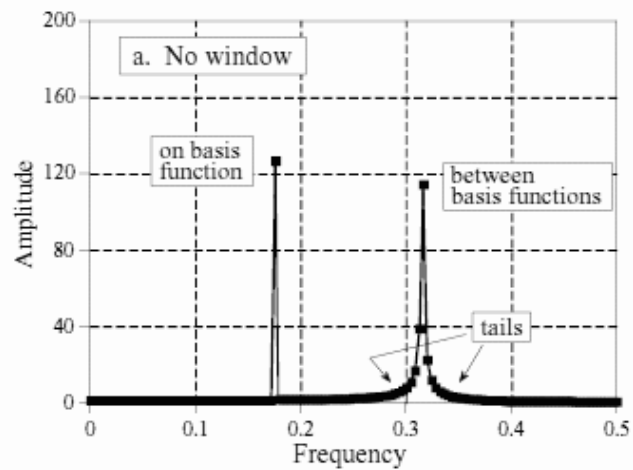
The bandwidth of frequency domain samples. Each sample in the frequency domain can be thought of as being contained in a frequency band of width  $2/N$ , expressed as a fraction of the total bandwidth. An exception to this is the first and last samples, which have a bandwidth only one-half this wide,  $1/N$ .



Megoldás: ablakfüggvény alkalmazása:

négyszög 1	$4\pi/N$	22 %
Bartlett (háromszög) $1 - 2 n /(N - 1)$	$8\pi/N$	4 %
Hamming $0.54 + 0.46 \cos(\frac{2\pi n}{N-1})$	$8\pi/N$	1 %
Hanning $0.5 + 0.5 \cos(\frac{2\pi n}{N-1})$	$8\pi/N$	2.6 %
Blackman $0.42 + 0.5 \cos(\frac{2\pi n}{N-1}) + 0.08 \cos(\frac{4\pi n}{N-1})$	$12\pi/N$	0.1 %





## Egyéb eljárások, módszerek

Strassen algoritmus: műveletszám csökkentése:

$$e + jf = (a + jb)(c + jd) \quad \implies \quad e = ac - bd, \quad f = ad + bc.$$

Strassen : 
$$e = (a - b)d + a(c - d), \quad f = (a - b)d + b(c + d).$$

Cirkuláris konvolúció: pl.  $8 \times 8$ -as cikruláris konvolúcióra 64 helyett 17 szorzás:

$$\begin{pmatrix} e \\ f \end{pmatrix} = \begin{pmatrix} c & -d \\ d & c \end{pmatrix} \begin{pmatrix} a \\ b \end{pmatrix} = \begin{pmatrix} 1 & 0 & 1 \\ 0 & 1 & 1 \end{pmatrix} \begin{pmatrix} c - d & 0 & 0 \\ 0 & c + d & 0 \\ 0 & 0 & d \end{pmatrix} \begin{pmatrix} 1 & 0 \\ 0 & 1 \\ 0 & -1 \end{pmatrix}$$

Winograd algoritmus: prímszámok hatványai, nem csak  $2^n$  hatványok. Pl.  $(\Theta = 2\pi/5)$ :



$$\begin{pmatrix} V_0 \\ V_1 \\ V_2 \\ V_3 \\ V_4 \end{pmatrix} = \begin{pmatrix} 1 & 0 & 0 & 0 & 0 & 0 \\ 1 & 1 & 1 & 1 & 0 & -1 \\ 1 & 1 & -1 & 1 & 1 & 0 \\ 1 & 1 & -1 & -1 & -1 & 0 \\ 1 & 1 & 1 & -1 & 0 & 1 \end{pmatrix} \begin{pmatrix} B_0 & 0 & 0 & \dots & & \\ 0 & B_1 & 0 & & & \\ 0 & 0 & B_2 & & & \\ \vdots & & & B_3 & & \\ & & & & B_4 & \\ & & & & & B_5 \end{pmatrix}$$

$$\times \begin{pmatrix} 1 & 1 & 1 & 1 & 1 \\ 0 & 1 & 1 & 1 & 1 \\ 0 & 1 & -1 & -1 & 1 \\ 0 & 1 & -1 & 1 & -1 \\ 0 & 1 & 0 & 0 & -1 \\ 0 & 0 & -1 & 1 & 0 \end{pmatrix} \begin{pmatrix} v_0 \\ v_1 \\ v_2 \\ v_3 \\ v_4 \end{pmatrix}$$

$$B_0 = 1, \quad B_1 = 0.5(\cos \Theta + \cos 2\Theta) - 1, \quad B_2 = 0.5(\cos \Theta - \cos 2\Theta),$$

$$B_3 = j \sin \Theta, \quad B_4 = j(-\sin \Theta + \sin 2\Theta), \quad B_5 = j(\sin \Theta + \sin 2\Theta).$$

Bonyolult programozás!

Más felbontás: Walsh, Haar, wavelet alapok!

